

通 信

## 高效率连续波 Nd:FAP 晶体激光器\*

邵中兴 陈亦

(中国科学院长春光机所) (吉林省激光研究所)

### An efficient CW Nd:FAP laser

Shao Zhongxing

(Changchun Institute of Optics and Fine Mechanics, Academia Sinica, Changchun)

Chen Yi

(Jilin Institute of Lasers, Changchun)

**Abstract:** An efficient CW Nd:FAP laser pumped by a dye(LD 700)laser, operating at the strong line ( $1.0629 \mu\text{m}$ ) and the weak line ( $1.1259 \mu\text{m}$ ), is presented.

**Key words:** Nd:FAP crystal, efficient CW laser

氟磷酸钙晶体 (Calcium Fluorophosphate), 简称 FAP 晶体, 其化学分子式为  $\text{Ca}_5(\text{PO}_4)_3\text{F}$ , 掺入钕后, 钕离子发射谱与 Nd:YAG 有些不同。例如, Nd:FAP 晶体的最强辐射线是上能级  $^4F_{3/2}$  中的子能级  $R_1$  到下能级  $^4I_{11/2}$  的子能级  $Y_1$  间的跃迁, 波长为  $1.0629 \mu\text{m}$ ; 弱线  $R_1 \sim Y_5$  跃迁波长为  $1.1259 \mu\text{m}$ 。

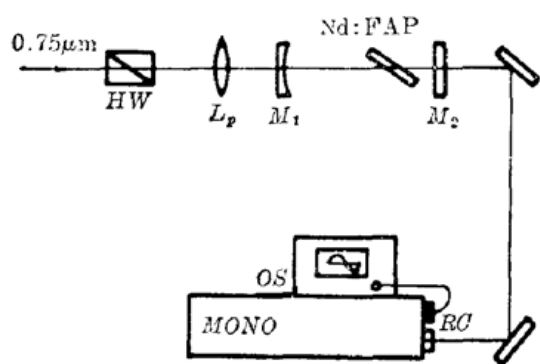


图 1 Nd:FAP 激光器的实验装置  
Nd:FAP 晶体的强谱线( $1.0629 \mu\text{m}$ )和弱谱线( $1.1259 \mu\text{m}$ )激光运转结果, 并与连续波 Nd:YAG 激光特性进行了比较。

Nd:FAP 晶体激光器的试验装置如图 1 所示。由于氟离子激光器泵浦可调谐环形染料激光器为垂直偏振输出, 为此, 用一 Fresnel  $\lambda/2$  棱镜将其偏振面旋转  $90^\circ$  后, 由焦距为  $f = 7.5 \text{ cm}$  的消像散的复合透镜  $L_p$  把泵浦光聚焦到 Nd:FAP 晶体上, 全反镜  $M_1$  的曲率半径  $R = 10$

\*

\* 本工作系在美国家标准局 Boulder 实验室完成。

cm, 对泵浦光的透过率为 80%。为得到弱谱线振荡, 实验中用两块不同反射率镀膜的平面镜作为输出镜  $M_2$ , 其中一块对  $1.06 \mu\text{m}$  的反射率为 98%, 另一块对  $1.06 \mu\text{m}$  的反射率  $<40\%$ , 而对  $1.12 \mu\text{m}$  反射率为  $>99.8\%$ 。Nd:FAP 晶体尺寸为  $\phi 6.3 \text{ mm} \times 3 \text{ mm}$ ,  $c$  轴平行于晶体表面, 将  $0.178 \text{ mm}$  厚无镀膜的显微镜用样品盖片, 作为 FP 标准具插入腔内, 用以压窄谱线和调谐波长。所用激光功率计为 Coherent Radiation 210 型。

为获得 Nd:FAP 晶体的最强谱线激光输出, 即  $1.0629 \mu\text{m}$   $\pi$ -偏振激光输出, 置晶体  $c$  轴于平行泵浦光偏振方向, 并使晶体与泵浦光束呈布氏角, 腔长为  $3.5 \text{ cm}$ 。调谐染料激光波长到 Nd:FAP 晶体的一个吸收峰  $0.75 \mu\text{m}$  附近。实测得的  $1.0629 \mu\text{m}$   $\pi$ -偏振激光多模输出功率与泵浦功率的函数关系如图 2 曲线 I 所示。由曲线 I 可以看出, 在给定的实验条件下,  $1.0629 \mu\text{m}$   $\pi$ -偏振激光振荡阈值约为  $12 \text{ mW}$ , 用  $340 \text{ mW}$  染料光泵浦, 得到约  $152 \text{ mW}$  的  $1.0629 \mu\text{m}$   $\pi$ -偏振多模激光输出, 转换效率为 44.7%, 激光线宽约  $1.0 \text{ cm}^{-1}$ 。插入 FP 标准具后, 得到了  $104 \text{ mW}$  的线宽小于  $0.5 \text{ cm}^{-1}$  的激光输出。旋转  $c$  轴  $90^\circ$ , 使其与泵浦光偏振面正交, 即可获得  $1.0629 \mu\text{m}$  的  $\sigma$ -偏振激光。实测得输入泵浦功率与输出激光功率函数关系如图 2 曲线 II 所示。它的振荡阈值显然高于  $\pi$ -偏振情况, 约为  $23 \text{ mW}$ 。当泵浦功率为  $340 \text{ mW}$  时, 转换效率为 39%, 同样地插入上述标准具, 得到约  $70 \text{ mW}$  的窄谱线输出。若晶体表面垂直泵浦光束, 腔内无偏振选择元件, 不管  $c$  轴平行或正交于泵浦偏振面, 输出光也总是偏振的, 且方向总与  $c$  轴一致。这表明, 只有  $\pi$ -偏振激光振荡。这是因为  $\sigma$ -偏振荧光比  $\pi$ -偏振弱得多的缘故。

$1.1259 \mu\text{m}$  波长的  $\sigma$ -偏振荧光强度只有  $1.0629 \mu\text{m}$   $\pi$ -偏振的 6.8%, 所以要获得如此弱谱线的激光输出, 必须抑制强谱线振荡。因而要求输出镜对  $1.1259 \mu\text{m}$  高反射同时对  $1.0629 \mu\text{m}$  高透过。使 Nd:FAP 晶体在腔中呈布氏角放置,  $c$  轴与泵浦光偏振面正交, 保持共振腔长为  $4 \text{ cm}$ , 晶体距耦合镜约  $1 \text{ cm}$ , 得到了  $1.1259 \mu\text{m}$  的  $\sigma$ -偏振激光的输入-输出函数关系如图 2 曲线 III 所示。阈值泵浦功率约为  $45 \text{ mW}$ ,  $340 \text{ mW}$  泵浦时得到  $84 \text{ mW}$  多模激光输出, 转换效率为 24%, 激光谱宽约  $5.1 \text{ cm}^{-1}$ , 腔内插入前述标准具后, 得到了约  $43 \text{ mW}$  的窄谱线激光输出。该波长上的荧光线宽较宽, 约为  $14 \text{ cm}^{-1}$ , 相应地, 激光调谐也较宽, 实验测得的结果约为  $12 \text{ cm}^{-1}$ 。图 3 给出了  $1.1259 \mu\text{m}$  波长的宽谱线(a)和窄谱线(b)激光波型相比较的照片。同样地,

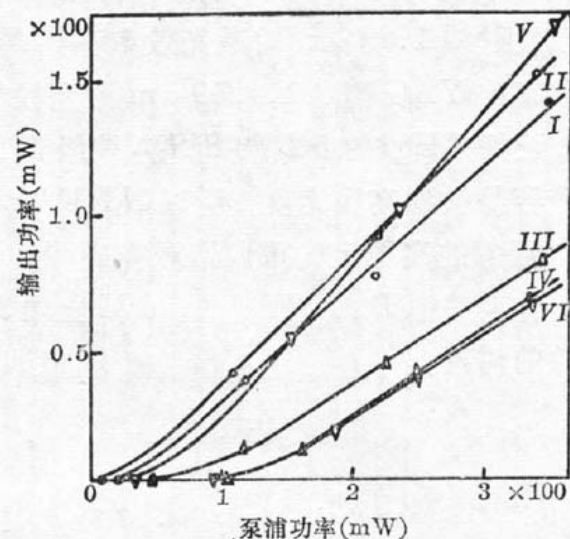


图 2 Nd:FAP 和 Nd:YAG 晶体激光输出与泵浦功率函数关系曲线

Nd:FAP: I  $1.0629 \mu\text{m} (\pi)$   
II  $1.0629 \mu\text{m} (\sigma)$   
III  $1.1259 \mu\text{m} (\sigma)$   
IV  $1.1259 \mu\text{m} (\pi)$   
Nd:YAG V  $1.0641 \mu\text{m}$   
VI  $1.1225 \mu\text{m}$

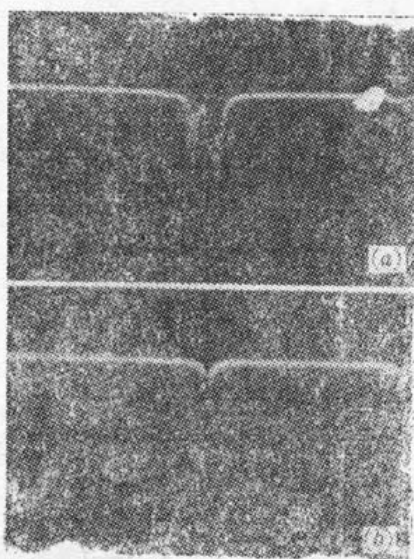


图 5  $1.1259 \mu\text{m}$  激光线宽照片

(a) 宽谱线; (b) 窄谱线

旋转  $c$  轴  $90^\circ$ , 也可得到  $1.1259\mu\text{m}$  的  $\pi$ -偏振激光, 实验结果如图 2 曲线 IV 所示。

本工作比较了相同实验条件下 Nd:FAP 和 Nd:YAG 两种晶体的连续波激光运转特性。结果表明, Nd:FAP 晶体激光的阈值泵浦功率还不到 Nd:YAG 的一半。虽然 Nd:FAP 的强发射线  $1.06\mu\text{m}$  的激光效率不如 Nd:YAG 高, 但 Nd:FAP 的弱发射线  $1.12\mu\text{m}(\sigma-)$  激光效率比 YAG 高。 $1.1259\mu\text{m}$  激光很容易被调谐到  $1.126\mu\text{m}$ , 经过二次倍频到紫外  $281.5\text{ nm}$ , 正好是  $\text{Hg}^+$  的  $5D^{10}6S^2S_{1/2}$  能级到  $5D^66S^22D_{5/2}$  能级跃迁的双光子波长, 加之固体激光器比较容易做到高稳定性, 所以 Nd:FAP 晶体  $1.1259\mu\text{m}$  可调谐激光输出是激光捕陷(Trap)  $\text{Hg}^+$  理想的高稳定性可调谐激光光源。

作者感谢 D. J. Wineland 博士和 J. C. Bergquist 博士在实验工作中给予的方便和许多有益的讨论。

### 参 考 文 献

- 1 R. C. Ohlmann et al., *Appl. Opt.*, **7**(5), 905(1968)
- 2 O. Deutschbein et al., *Appl. Opt.*, **17**(14), 2228(1978)
- 3 W. E. Martin, *IEEE J. Quant. Electr.*, **QE-18**(7), 1155(1982)

## 氦-氖激光管失效物理分析

胡志强 李熙 李军 王喜民

(北京光电技术研究所 北京激光参数测试中心)

### Physical analysis on failures of He-Ne lasers

*Hu Zhiqiang, Li Xi, Li Jun, Wang Ximin*

(Beijing Laser Parameter Testing Center, Beijing Institute of Opto-Electronic Technology, Beijing)

**Abstract:** Some data of the lifetime testing of He-Ne lasers at the national quality comparison and apprasement of He-Ne lasers products were shown, specific experimental analysis were performed, essential factors causing the failures of He-Ne laser products were found, and the main issues in the manufacture technology were pointed out.

**Key words:** He-Ne laser, failure

### 一、引言

生产者和使用者普遍关心氦-氖激光管的工作寿命及其失效因素。人们对失效因素作过大量的研究工作<sup>[1~3]</sup>。

在国家科委主持的第二次全国氦-氖激光器产品质量评比过程中, 我们从 16 家工厂抽检的 80 支  $250\text{ mm}$  腔长内腔式氦-氖激光管中, 对 63 支管进行了 5000 小时的工作寿命试验(输出功率低于  $1\text{ mW}$  作为寿命终止), 其中 30 支工作寿命不足  $5000\text{ h}$ , 占 47.6%。可见, 工作寿